# **————** СИНТЕЗ И СВОЙСТВА НЕОРГАНИЧЕСКИХ СОЕДИНЕНИЙ **————**

УЛК 546.271-386

# РЕАКЦИЯ ИМИНОАЦИЛИРОВАНИЯ ИОДАНИЛИНА АНИОНОМ $[2-B_{10}H_9NCCH_3]^--$ ПУТЬ К ПОЛУЧЕНИЮ НОВЫХ БОРСОДЕРЖАЩИХ СИНТОНОВ

© 2024 г. А. П. Жданов<sup>а, \*</sup>, А. В. Нелюбин<sup>а</sup>, Н. А. Селиванов<sup>а</sup>, А. Ю. Быков<sup>а</sup>, А. С. Кубасов<sup>а</sup>, И. Н. Клюкин<sup>а</sup>, К. Ю. Жижин<sup>а</sup>, Н. Т. Кузнецов<sup>а</sup>

<sup>а</sup>Институт общей и неорганической химии им. Н.С. Курнакова РАН, Ленинский пр-т, 31, Москва, 119991 Россия \*e-mail: zhdanov@igic.ras.ru

Поступила в редакцию 15.04.2024 г. После доработки 20.05.2024 г. Принята к публикации 21.05.2024 г.

Изучена реакция нуклеофильного присоединения изомеров иоданилина к нитрилиевому производному *клозо*-декаборатного аниона. Строение продуктов установлено методами мультиядерной ЯМР- и ИК-спектроскопии, ESI-масс-спектрометрии. Структура соединения (NBu<sub>4</sub>)[2-B<sub>10</sub>H<sub>9</sub>NHC(CH<sub>3</sub>)HN(2-C<sub>6</sub>H<sub>4</sub>I)] определена методом РСА монокристалла.

Ключевые слова: клозо-декаборатный анион, нуклеофильное присоединение, иоданилин

DOI: 10.31857/S0044457X24100013, EDN: JJPWFP

#### **ВВЕДЕНИЕ**

Интерес к кластерным анионам бора обусловлен широкими возможностями их практического применения. На основе свободных анионов и их производных создаются каталитические системы [1, 2], компоненты для вольтаических устройств [3-5], магнитные [6-8] и защитные материалы [9]. В области медицины высшие бороводородные анионы находят применение при создании новых типов противомикробных и противовирусных препаратов [10-14]. Борнейтронозахватная терапия (БНЗТ) остается одним из наиболее важных направлений применения функционализированных клозо-боратов, что связано в первую очередь с официальным признанием ВОЗ эффективности методики [15] и включением ее в клиническую практику (Япония, Китай) [16, 17].

Можно обозначить два пути получения потенциальных препаратов для БНЗТ. Первый путь — это введение эффективных транспортных или иных групп в кластер и модификация введенных экзополиэдрических заместителей различной природы: оксониевых, амино-, тиольных, нитрилиевых групп [18—24]. Второй путь предполагает создание наноразмерных систем [25—29].

В настоящей работе рассмотрены некоторые аспекты процессов взаимодействия нитрилиевых производных с ароматическими аминами. Ранее было показано, что присоединение органических соединений с аминогруппой позволяет получить широкий ряд продуктов, в том числе на основе биологически активных соединений. Важным аспектом является введение в целевой продукт функциональных групп, способных к дальнейшим модификациям, например, на основе методологии палладий-катализируемого кросс-сочетания.

В связи с этим в работе рассмотрен процесс нуклеофильного присоединения всех изомеров иоданилина, определены закономерности протекания процессов, состав и строение продуктов.

#### ЭКСПЕРИМЕНТАЛЬНАЯ ЧАСТЬ

**ИК-спектры** соединений записывали на ИК-Фурье-спектрофотометре Инфралюм ФТ-08 (НПФ АП "Люмекс") в области  $4000-600~{\rm cm^{-1}}$  с разрешением  $1~{\rm cm^{-1}}$ . Образцы готовили в виде таблеток с бромидом калия.

**Спектры ЯМР** на ядрах  $^{1}$ H,  $^{11}$ B,  $^{13}$ C регистрировали на импульсном Фурье-спектрометре Bruker Avance-II 300 (Германия) на частотах 300.3, 96.32

и 75.49 МГц соответственно с внутренней стабилизацией по дейтерию. Образцы готовили в виде растворов в  $CD_3CN$ .

**ESI-масс-спектры высокого разрешения** растворов исследуемых веществ в ацетонитриле записывали на спектрометре LCMS-IT-TOF (Shimadzu, Япония) в режиме прямого введения в диапазоне m/z от 120 до 700 Да. Напряжение детектора 1.55 кВ, напряжение ЭСИ 4.50 кВ. Перед анализом проводили калибровку масс и проверку чувствительности оборудования.

Растворители и реагенты марок "х. ч." и "ос. ч." приобретали в коммерческих источниках (Химмед, ABCR, Sigma-Aldrich) и использовали без дополнительной очистки.

Рентгеноструктурный анализ. Кристаллы  $(NBu_{4})[2-B_{10}H_{0}NHC(CH_{2})HN(2-C_{6}H_{4}I)]$ чали изотермическим упариванием соответствующих солей из смеси этанол/изопропанол. Набор дифракционных отражений для кристалла получен в Центре коллективного пользования ИОНХ РАН на автоматическом дифрактометре Bruker SMART APEX2 (Мо $K_{\alpha}$ -излучение, графитовый монохроматор, ω-ф-сканирование). Данные были проиндексированы и интегрированы с помощью программы SAINT [30]. Применяли поправку на поглощение, основанную на измерениях эквивалентных отражений (SADABS) [31]. Структуры расшифрованы прямым методом с последующим расчетом разностных синтезов Фурье. Все неводородные атомы уточнены в анизотропном приближении. Все атомы водорода уточнены по модели "наездни-соответствующего неводородного атома  $(1.5U_{\text{\tiny H3O}})$ для СН<sub>3</sub>-групп).

Расчеты проводили с использованием программы SHELXTL [32]. Структура расшифрована и уточнена с помощью программного комплекса OLEX2 [33]. Кристаллографические данные депонированы в Кембриджском банке структурных данных (ССDС № 2355340).

Производное *клозо*-декаборатного аниона на основе ацетонитрила  $(Bu_4N)[2-B_{10}H_9NCCH_3]$  (1) синтезировали согласно [34].

 $(Bu_4N)[2-B_{10}H_9(NH=C(NH-2-C_6H_4I)CH_3)]$  (2). Готовили раствор ацетонитрильного производного 1 (0.200 г, 0.50 ммоль) и 2-иоданилина (0.876 г, 4.00 ммоль) в 10 мл ацетонитрила. Полученный раствор барботировали аргоном в тече-

ние 10 мин. Затем реакционную смесь кипятили в атмосфере аргона в течение 6 ч. Охлажденный до комнатной температуры раствор концентрировали на роторном испарителе, сухой остаток растворяли в дихлорметане и промывали 1 М соляной кислотой до исчезновения пятна от 2-иоданилина на ТСХ. Органический слой промывали водой до нейтральной реакции и сушили над безводным сульфатом натрия, затем концентрировали на роторном испарителе, сухой остаток перекристаллизовывали из смеси этанол/изопропиловый спирт. Продукт сушили в эксикаторе над оксидом фосфора(V). Выход составил 0.236 г (76 %).

<sup>11</sup>В ЯМР-спектр ((CD,),CO, δ, м.д.): 2.1  $(\pi, 1B, B(10), J^{B-H} = 146 \Gamma_{II}), -4.9 (\pi, 1B, B(1),$  $J^{B-H} = 142 \Gamma \mu$ , -15.8 (c, 1B, B(2)), -24.7 (д, 4B,  $B(3, 5, 6, 9), J^{B-H} = 130 \Gamma \mu, -27.9 (д, 3B, B(4, 7, 9))$ 8),  $J^{B-H} = 132 \, \Gamma \text{ц}$ ). <sup>1</sup>H ЯМР-спектр ((CD<sub>2</sub>)<sub>2</sub>CO,  $\delta$ , м.д.): 9.89 (с, 1H, NH=C(N<u>H</u>)-CH<sub>2</sub>), 8.03 (д,  $J = 8.0 \Gamma \mu$ , 1H, H-arom-6), 7.54 (т,  $J = 7.7 \Gamma \mu$ , 1H, H-arom-4), 7.43 (M, 2H, NH=C(NH<sub>2</sub>)-CH<sub>2</sub>, H-arom-3), 7.19 (т,  $J = 7.7 \Gamma \mu$ , 1H, H-arom-5), 3.41 (8H, Bu<sub>4</sub>N), 1.97 (c, 3H, NH=C(NH)-CH<sub>2</sub>), 1.80 (8H, Bu<sub>4</sub>N), 1.43 (8H, Bu<sub>4</sub>N), 0.96 (12H, Bu<sub>4</sub>N).  $^{13}$ С{H} ЯМР-спектр ((CD<sub>2</sub>)<sub>2</sub>CO,  $\delta$ , м.д.): 164.7  $(NH = C(NH) - CH_3), 140.9 (C_{arom} - N), 130.7, 130.5, 129.9 (C_{arom} - H), 99.1 (C-I), 59.4 (Bu<sub>4</sub>N), 24.5$  $(Bu_AN)$ , 20.4  $(Bu_AN)$ , 19.2  $(NH=C(NH)-CH_2)$ , 14.0 (Bu4N). ИК-спектр (КВг, см<sup>-1</sup>): 3360. 3341, 3295  $\nu(N-H)$ , 2455  $\nu(B-H)$ , 1640  $\nu(C=N)$ . MS(ESI) m/z = 377.1529 (найдено для  $[B_{10}H_{0}(NH=C(NH 2-C_{\epsilon}H_{A}I)CH_{3}$ )], вычислено для {[A]-} 377.1512).

 $(Bu_4N)[2-B_{10}H_0(NH=C(NH-3-C_6H_4I)CH_3)]$ **(3).** Производное **1** (0.200 г, 0.50 ммоль) и 3-иоданилин (0.164 г, 0.75 ммоль) растворяли в 10 мл Полученный раствор обезгаживали барботированием аргона. Реакционную массу кипятили в течение 2 ч в атмосфере аргона при перемешивании. После окончания реакции смесь охлаждали до комнатной температуры и концентрировали на роторном испарителе. Сухой остаток растворяли в 5 мл СН<sub>2</sub>Сl<sub>2</sub> и промывали последовательно 1 М соляной кислотой (2 × 3 мл) и дистиллированной водой до нейтральной реакции. Органический слой сушили над безводным сульфатом натрия и упаривали на роторном испарителе. Продукт перекристаллизовывали из смеси этанол/изопропиловый спирт и сушили в эксикаторе над оксидом фосфора(V). Выход составил 0.250 г (80 %).

<sup>11</sup>В ЯМР-спектр ((CD<sub>2</sub>)<sub>2</sub>CO, δ, м.д.): 2.5  $(д, 1B, B(10), J^{B-H} = 147 \Gamma u), -5.3 (д, 1B, B(1),$  $J^{B-H} = 142 \Gamma_{II}$ , -15.9 (c, 1B, B(2)), -24.7 (д, 4B,  $B(3, 5, 6, 9), J^{B-H} = 131 \Gamma_{II}, -27.9 (\pi, 3B, B(4, 7, 19))$ 8),  $J^{B-H} = 134 \, \Gamma$ ц). <sup>1</sup>H ЯМР-спектр ((CD<sub>2</sub>)<sub>2</sub>CO, δ, м.д.): 10.28 (c, 1H, NH=C(NH)-CH<sub>2</sub>), 7.71 (м. 2H, H-arom-2,6), 7.47 (уш. с, 1H, NH=C(NH<sub>2</sub>)—  $CH_{2}$ ), 7.38 (д, J = 8.1 Гц, 1H, H-arom-4), 7.28 (t,  $J = 7.9 \Gamma \mu$ , 1H, H-arom-6), 3.43 (8H, Bu,N), 2.24 (c, 3H,  $NH=C(NH)-CH_2$ ), 1.81 (8H, Bu(N)), 1.44 (8H, Bu,N), 0.97 (12H, Bu,N). <sup>13</sup>С{H} ЯМРспектр ((CD<sub>2</sub>)<sub>2</sub>CO,  $\delta$ , м.д.): 164.2 (NH= $\underline{C}$ (NH)—  $CH_3$ ), 139.6 ( $\hat{C}_{arom}$ -N), 136.4, 134.0, 132.2, 124.9  $(C_{arom}-H)$ , 94.7 (C-I), 59.5  $(Bu_4N)$ , 24.5  $(Bu_4N)$ , 20.4 (Bu<sub>4</sub>N), 19.2 (NH=C(NH)-CH<sub>2</sub>), 14.0 (Bu<sub>4</sub>N). ИК-спектр (КВг, см<sup>-1</sup>): 3355, 3340, 3286  $\nu(N-H)$ , 2462  $\nu(B-H)$ , 1635  $\nu(C=N)$ . MS(ESI) m/z = 377.1528 (найдено для  $[B_{10}H_{9}(NH=C(NH 3-C_6H_4I)CH_3$ ], вычислено для {[A]-} 377.1512).

 $(Bu_4N)[2-B_{10}H_9(NH=C(NH-4-C_6H_4I)CH_3)]$  (4) получали по аналогичной методике. Продукт перекристаллизовывали из смеси AcOH (30%-ный водный раствор)/этиловый спирт. Выход 0.211 г (68%).

<sup>11</sup>В ЯМР-спектр ((CD<sub>3</sub>)<sub>2</sub>CO,  $\delta$ , м.д.): 2.4 (д, 1В, В(10), Ј<sup>В-Н</sup> = 148 Гц), -5.4 (д, 1В, В(1), Ј<sup>В-Н</sup> = 143 Гц), -16.0 (с, 1В, В(2)), -24.8 (д, 4В, В(3, 5, 6, 9), Ј<sup>В-Н</sup> = 134 Гц), -27.9 (д, 3В, В(4, 7, 8), Ј<sup>В-Н</sup> = 147 Гц). <sup>1</sup>Н ЯМР-спектр ((CD<sub>3</sub>)<sub>2</sub>CO,  $\delta$ , м.д.): 10.27 (с, 1Н, NH=C(N<u>H</u>)-CH<sub>3</sub>), 7.84 (д, Ј = 8.7 Гц, 2Н, Н-агот-2,6), 7.44 (уш. с, 1Н, N<u>H</u>=C(NH<sub>2</sub>)-CH<sub>3</sub>), 7.16 (д, Ј = 8.6 Гц, 3Н, H-агот-3,5), 3.43 (8Н, Ви<sub>4</sub>N), 2.23 (с, 3Н, NH=C(NH)-CH<sub>3</sub>), 1.80 (8H, Ви<sub>4</sub>N), 1.43 (8H, Ви<sub>4</sub>N), 0.97 (12H, Ви<sub>4</sub>N). <sup>13</sup>C{H} ЯМР-спектр ((CD<sub>3</sub>)<sub>2</sub>CO,  $\delta$ , м.д.): 164.1 (NH=<u>C</u>(NH)-CH<sub>3</sub>), 139.5 (С<sub>агот</sub>-H), 138.2 (С<sub>агот</sub>-N), 127.3 (С<sub>агот</sub>-H), 91.6 (C-I), 59.5 (Ви<sub>4</sub>N), 24.5 (Ви<sub>4</sub>N), 20.4 (Ви<sub>4</sub>N), 19.2 (NH=C(NH)-CH<sub>3</sub>), 14.0 (Ви<sub>4</sub>N). ИК-спектр

(КВг, см $^{-1}$ ): 3352, 3340. 3295 v(N-H), 2458 v(B-H), 1644 v(C=N). MS(ESI) m/z=377.1532 (найдено для [В $_{10}$ H $_{9}$ (NH=C(NH $_{-4}$ -C $_{6}$ H $_{4}$ I)CH $_{3}$ )], вычислено для {[А] $_{-}$ } 377.1512).

### РЕЗУЛЬТАТЫ И ОБСУЖДЕНИЕ

Изомеры иоданилина являются важными синтетическими предшественниками множества классов соединений — алкинов, гетероциклов различного строения [35—38]. Одной из целей получения производных на основе клозодекаборатного аниона и иоданилинов является дальнейшая модификация по методу Соногаширы для получения терминальных этинильных групп.

В ходе исследования установлено, что реакции протекают в довольно мягких условиях. Так, мета- и пара-изомеры иоданилина полностью иминоацилируются в среде дихлорметана при 40°С за 2 ч. Однако орто-изомер отличается более низкой реакционной способностью, что связано со стерическими затруднениями и дополнительной координацией [39]. Реакция протекает при нагревании до 80°С в среде ацетонитрила в течение 6 ч и в присутствии существенного избытка нуклеофильного реагента. Во избежание побочных процессов окисления реакционные смеси предварительно обезгаживали и реакции проводили в атмосфере аргона по схеме, представленной на рис. 1.

За ходом процесса наблюдали с помощью <sup>11</sup>В{<sup>1</sup>Н} ЯМР-спектроскопии. Полную конверсию исходного нитрилиевого производного фиксировали по изменению химических сдвигов от атома бора при заместителе и апикальных атомов бора. Наблюдаемая спектральная картина полностью согласуется с ранее полученными амидинами на основе ароматических аминов [40–42].

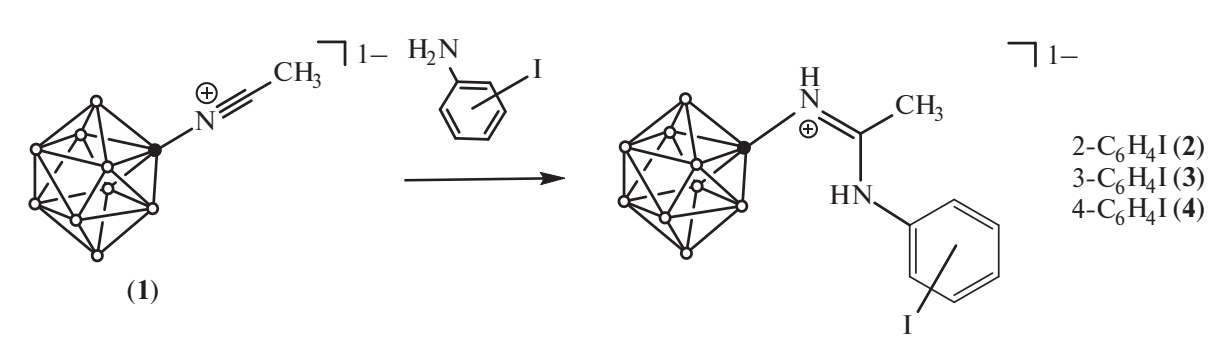
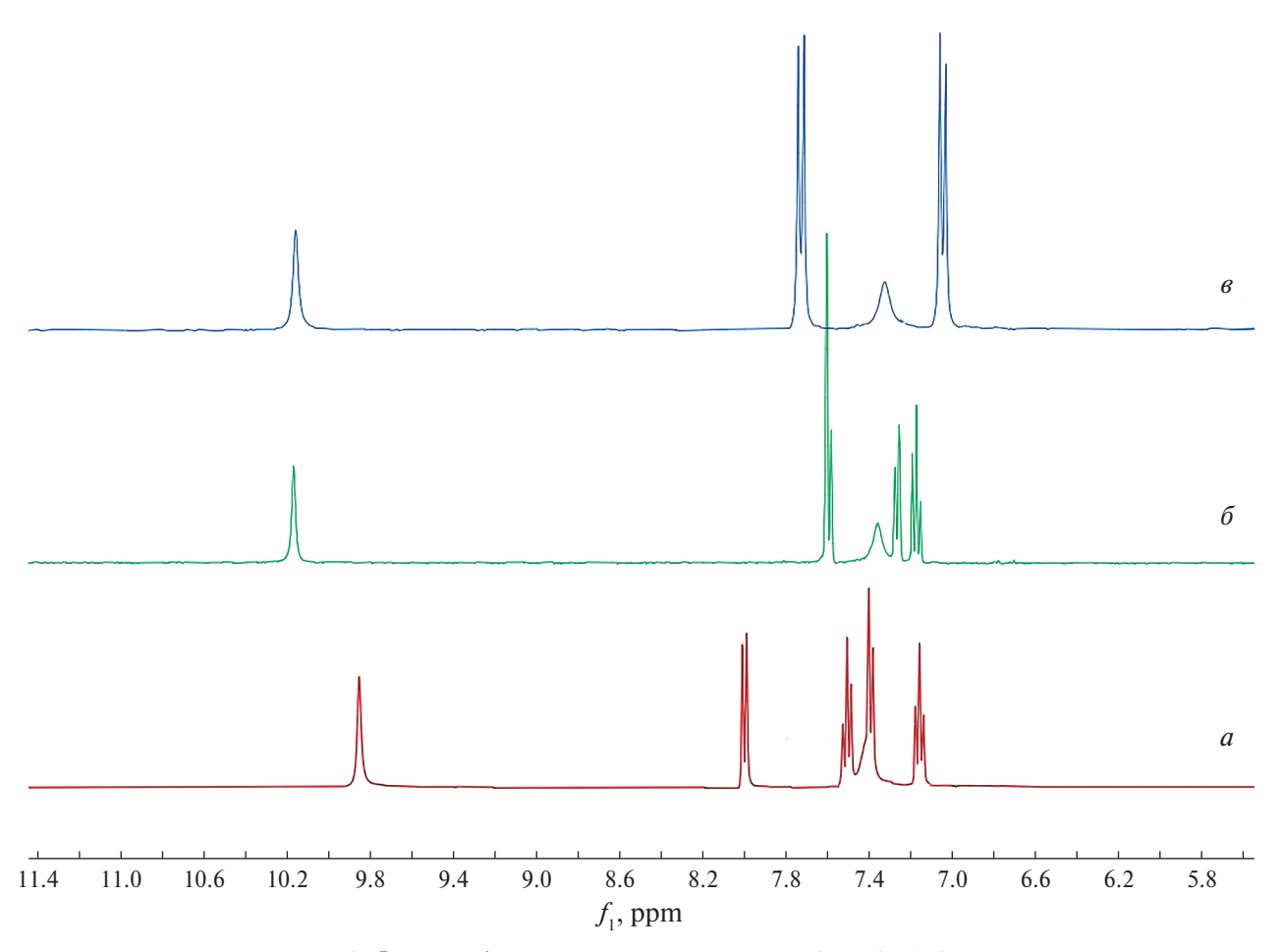


Рис. 1. Общая схема реакции.

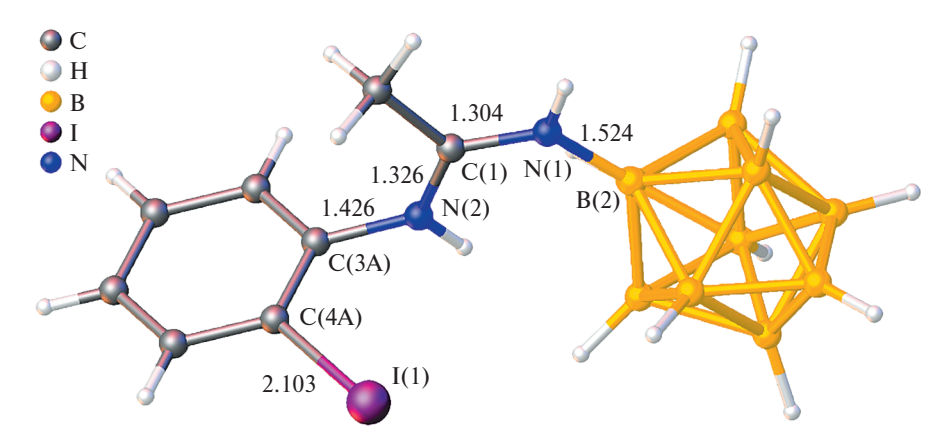
Строение полученного продукта определяли с помощью мультиядерной ЯМР- и ИК-спектроскопии, ESI-масс-спектрометрии высокого разрешения. В спектрах <sup>1</sup>Н ЯМР амидинов наблюдаются сигналы ароматических протонов дизамещенных фенильных колец (рис. 2). При этом вид спектров и мультиплетность сигналов характерны для *орто-*, *мета-* и *пара-*изомеров. Амидиновый фрагмент представлен двумя уширенными синглетами в области 10.2—9.8 и 7.4—7.5 м.л.

Ряд характеристичных полос поглощения также наблюдается в ИК-спектрах. Амидиновый фрагмент представлен набором полос поглощения валентных колебаний связей N-H в области  $3400-3200\,\mathrm{cm^{-1}}$  и полосой поглощения валентных колебаний связи C=N в области  $1650-1630\,\mathrm{cm^{-1}}$ . В ИК-спектрах поглощения продуктов реакции присутствует полоса поглощения валентных колебаний связи B-H кластерного фрагмента в области  $2500-2450\,\mathrm{cm^{-1}}$ .

Структура соединения 2 установлена методом РСА монокристалла. Структура состоит из тетрабутиламмониевых катионов и анионов амидинового типа  $[2-B_{10}H_0NH=C(CH_2)NH(2-C_6H_4I)]^-$ . В структуре аниона фрагмент 2-С, Н, І разупорядочен, что связано с вращением плоскости бензольного кольца. Соотношение заселенностей составляет 0.85: 0.1: 0.05. В анионе экзополиэдрический заместитель располагается в экваториальном поясе (рис. 3). Амидиновый заместитель имеет характеристики, сходные с таковыми для ранее установленных структур [40]. Длина связи B(2)–N(1) составляет 1.524 Å, что соответствует ординарной связи. Фрагмент N(1)-C(1)-N(2)плоский, а связи углерод-азот имеют промежуточный порядок (C(1)-N(1) 1.304, C(1)-N(2)1.326 Å). Амидиновый заместитель имеет Z-конфигурацию, стабилизированную диводородной связью N(2)H(2)...H(3)B(3) (длина 2.17 Å) (рис. 3). Замещенное фенильное кольцо также плоское, длины связей C(ar)-C(ar) равны и составляют 1.39 Å.



**Рис. 2.** Фрагмент <sup>1</sup>Н ЯМР-спектров соединений **2** (*a*), **3** (*б*), **4** (*в*).



**Рис. 3.** Строение аниона  $[2-B_{10}H_0NH=C(CH_1)NH(2-C_2H_4I)]^-$  по данным РСА монокристалла.

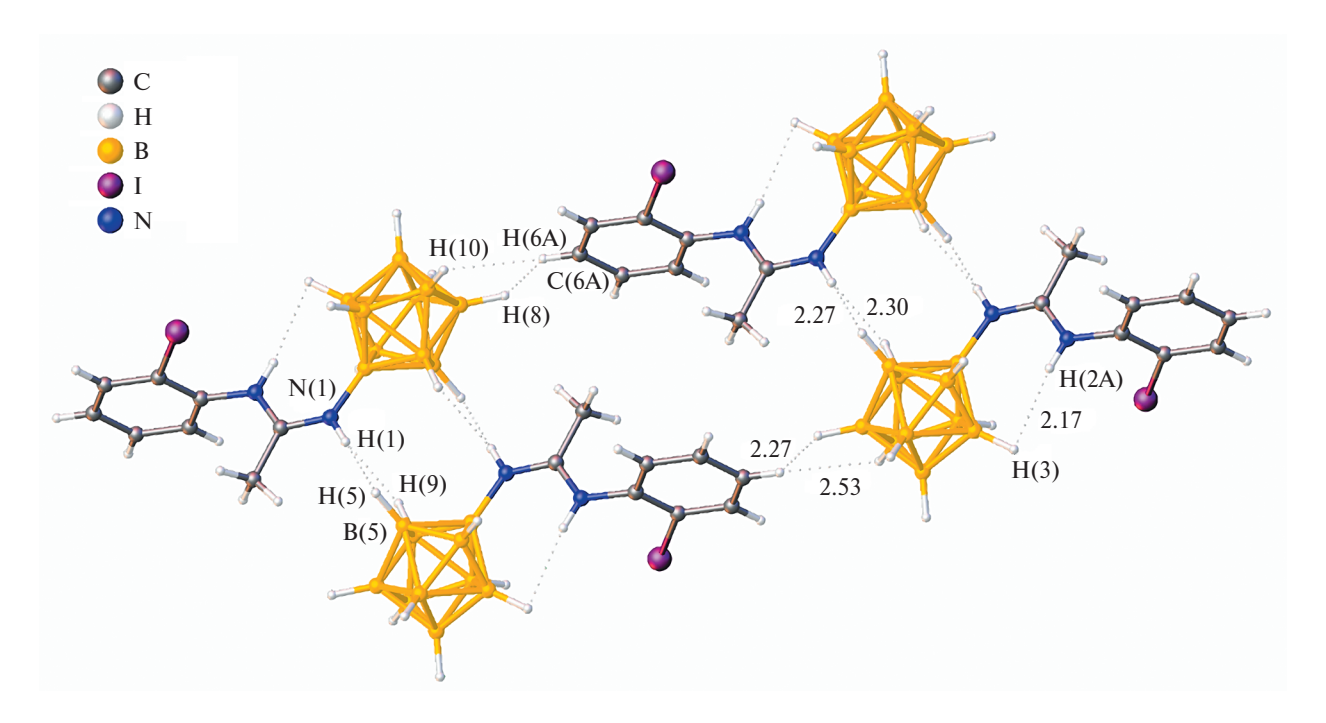


Рис. 4. Супрамолекулярные взаимодействия в структуре 2.

В структуре наблюдаются два типа нековалентных межмолекулярных взаимодействий (рис. 4). Диводородные связи между иминным протоном и атомами водорода соседнего кластера N(1)H(1)...H'(5)B'(5)и N(1)H(1)...H'(9)В'(9) (длины связей 2.27 и 2.30 Å соответственно) объединяют анионы в центросимметричные димеры. Межмолекулярные связи между атомом водорода фенильного кольца и атомами водорода кластерного остова C(6A)H(6A)...H'(8)B'(8)и С(6А)Н(6А)...Н'(10)В'(10) (длины связей 2.27 и 2.53 Å соответственно) отвечают за образование полимерных цепочек из анионов.

## ЗАКЛЮЧЕНИЕ

Таким образом, в работе изучен процесс нуклеофильного присоединения изомеров иоданилина к нитрилиевому производному клозодекаборатного аниона. Предложена методика введения в целевой продукт функциональных групп, в частности галогенидных, способных к дальнейшим модификациям.

#### БЛАГОДАРНОСТЬ

Работа выполнена с использованием оборудования ЦКП ФМИ ИОНХ РАН, функционирующего при поддержке государственного задания ИОНХ

РАН в области фундаментальных научных исследований.

### ФИНАНСИРОВАНИЕ РАБОТЫ

Работа выполнена при поддержке Российского научного фонда (грант № 21-73-10292), https://rscf. ru/project/21-73-10292/

#### КОНФЛИКТ ИНТЕРЕСОВ

Авторы заявляют, что у них нет конфликта интересов.

#### СПИСОК ЛИТЕРАТУРЫ

- 1. *Wang Z., Wang Z., Ma X. et al.* // Int. J. Hydrogen. Energy. 2021. V. 46. № 60. P. 30750. https://doi.org/10.1016/j.ijhydene.2021.06.196
- Wang Z., Liu Y., Zhang H. et al. // J. Colloid. Interface Sci. 2020. V. 566. P. 135. https://doi.org/10.1016/j.jcis.2020.01.047
- 3. *Duchêne L., Kühnel R.S., Rentsch D. et al.* // Chem. Commun. 2017. V. 53. № 30. P. 4195. https://doi.org/10.1039/c7cc00794a
- 4. Gigante A., Duchêne L., Moury R. et al. // ChemSusChem. 2019. V. 12. № 21. P. 4832. https://doi.org/10.1002/cssc.201902152
- 5. Duchêne L., Lunghammer S., Burankova T. et al. // Chem. Mater. 2019. V. 31. № 9. P. 3449. https://doi.org/10.1021/acs.chemmater.9b00610
- 6. *Shakirova O.G., Lavrenova L.G., Bogomyakov A.S. et al.* // Russ. J. Inorg. Chem. 2015. V. 60. № 7. P. 786. https://doi.org/10.1134/S003602361507013X
- 7. *Lavrenova L.G.*, *Shakirova O.G.* // Russ. J. Inorg. Chem. 2023. V. 68. № 6. P. 690. https://doi.org/10.1134/S0036023623600764
- 8. Malinina E.A., Myshletsov I.I., Buzanov G.A. et al. // Molecules. 2023. V. 28. № 1. https://doi.org/10.3390/molecules28010453
- 9. *Yorov K.E., Zhdanov A.P., Kamilov R.Kh. et al.* // ACS Appl. Nano Mater. 2022. V. 5. № 8. P. 11529. https://doi.org/10.1021/acsanm.2c02550
- 10. Avdeeva V.V., Garaev T.M., Malinina E.A. et al. // Russ. J. Inorg. Chem. 2022. V. 67. № 1. P. 28. https://doi.org/10.1134/S0036023622010028
- Avdeeva V.V., Garaev T.M., Breslav N.V. et al. // J. Biol. Inorg. Chem. 2022. V. 27. P. 421. https://doi.org/10.1007/s00775-022-01937-4
- 12. *Sun Y., Zhang J., Zhang Y. et al.* // Chem. Eur. J. 2018. V. 24. № 41. P. 10364. https://doi.org/10.1002/chem.201801602
- 13. *Varkhedkar R., Yang F., Dontha R. et al.* // ACS Cent. Sci. 2022. V. 8. № 3. P. 322. https://doi.org/10.1021/acscentsci.1c01132
- 14. *Las'kova Yu.N.*, *Serdyukov A.A.*, *Sivaev I.B.* // Russ. J. Inorg. Chem. 2023. V. 68. № 6. P. 621. https://doi.org/10.1134/S0036023623600612

- 15. International Atomic Energy Agency, Advances in Boron Neutron Capture Therapy, 2023. https://www.iaea.org/publications/15339/advances-in-boron-neutron-capture-therapy (accessed December 12, 2023).
- 16. *Igaki H., Murakami N., Nakamura S. et al.* // Clin. Transl. Radiat. Oncol. 2022. V. 33. P. 128. https://doi.org/10.1016/j.ctro.2022.02.006
- 17. *Zhang Z., Chong Y., Liu Y. et al.* // Cancers (Basel). 2023. V. 15. № 16. P. 4060. https://doi.org/10.3390/cancers15164060
- 18. *Stogniy M.Y., Erokhina S.A., Sivaev I.B. et al.* // Phosphorus, Sulfur Silicon Relat. Elem. 2019. V. 194. № 10. P. 983. https://doi.org/10.1080/10426507.2019.1631312
- 19. *Laskova J., Ananiev I., Kosenko I. et al.* // Dalton Trans. 2022. V. 51. № 8. P. 3051. https://doi.org/10.1039/D1DT04174F
- 20. *Prikaznov A.V., Shmal'ko A.V., Sivaev I.B. et al.* // Polyhedron. 2011. V. 30. № 9. P. 1494. https://doi.org/10.1016/j.poly.2011.02.055
- 21. *Nelyubin A.V.*, *Selivanov N.A.*, *Bykov A.Yu. et al.* // Int. J. Mol. Sci. 2021. V. 22. № 24. P. 13391. https://doi.org/10.3390/ijms222413391
- 22. *Nelyubin A.V., Selivanov N.A., Bykov A.Yu. et al.* // Russ. J. Inorg. Chem. 2022. V. 67. № 11. P. 1776. https://doi.org/10.1134/S0036023622601106
- 23. *Kubasov A.S., Turishev E.S., Golubev A.V. et al.* // Inorg. Chim. Acta. 2020. V. 507. P. 119589. https://doi.org/10.1016/j.ica.2020.119589
- 24. *Zhang Y., Sun Y., Wang T. et al.* // Molecules. 2018. V. 23. № 12. P. 1. https://doi.org/10.3390/molecules23123137
- 25. Feakes D.A., Shelly K., Knobler C.B. et al. // Proc. Natl. Acad. Sci. U.S.A. 2006. V. 91. № 8. P. 3029. https://doi.org/10.1073/pnas.91.8.3029
- 26. *Bregadze V.I.*, *Sivaev I.B.*, *Dubey R.D. et al.* // Chem. Eur. J. 2020. V. 26. № 61. P. 13832. https://doi.org/10.1002/chem.201905083
- 27. *Kanygin V., Zaboronok A., Taskaeva I. et al.* // J. Fluoresc. 2021. V. 31. № 1. P. 73. https://doi.org/10.1007/s10895-020-02637-5
- 28. *Wang Y., Xu Y., Yang J. et al.* // Mater. Chem. Front. 2021. V. 5. № 6. P. 2771. https://doi.org/10.1039/d0qm00867b
- 29. *Popova T.V.*, *Pyshnaya I.A.*, *Zakharova O.D. et al.* // Biomedicines. 2021. V. 9. № 1. P. 74. https://doi.org/10.3390/biomedicines9010074
- 30. Bruker, SAINT, Bruker AXS Inc., Madison, WI, 2018.
- 31. *Sheldrick G.M.* SADABS, Version 2008/1. Bruker AXS Inc., Germany.
- 32. *Sheldrick G.M.* // Acta Crystallogr., Sect. A. 2015. V. 71. № 1. P. 3. https://doi.org/10.1107/S2053273314026370

- 33. *Dolomanov O.V., Bourhis L.J., Gildea R.J. et al.* // J. Appl. Crystallogr. 2009. V. 42. № 2. P. 339. https://doi.org/10.1107/S0021889808042726
- 34. Voinova V.V., Selivanov N.A., Plyushchenko I.V. et al. // Molecules. 2021. V. 26. № 1. P. 248. https://doi.org/10.3390/molecules26010248
- 35. Lavastre O., Cabioch S., Dixneuf P.H. et al. // Tetrahedron. 1997. V. 53. № 22. P. 7595. https://doi.org/10.1016/S0040-4020(97)00451-1
- 36. *Duval R., Kolb S., Braud E. et al.* // J. Comb. Chem. 2009. V. 11. № 6. P. 947. https://doi.org/10.1021/cc900140f
- 37. *Zhao H., He W., Yao R. et al.* // Adv. Synth. Catal. 2014. V. 356. № 14–15. P. 3092. https://doi.org/10.1002/adsc.201400381

- 38. *da Silva G., Luz A.F.S., Duarte D. et al.* // ChemMedChem. 2023. V. 18. № 17. https://doi.org/10.1002/cmdc.202300264
- 39. *Beladhria A., Beydoun K., Ammar H. et al.* // Synthesis (Stuttg.). 2012. V. 44. № 14. P. 2264. https://doi.org/10.1055/s-0031-1291124
- 40. *Zhdanov A.P.*, *Polyakova I.N.*, *Razgonyaeva G.A. et al.* // Russ. J. Inorg. Chem. 2011. V. 56. № 6. https://doi.org/10.1134/S003602361106026X
- 41. *Zhdanova K.A.*, *Zhdanov A.P.*, *Ezhov A.V. et al.* // Russ. Chem. Bull. 2014. V. 63. № 1. P. 194. https://doi.org/10.1007/s11172-014-0413-1
- 42. Ezhov A.V., Vyal'ba F.Y., Kluykin I.N. et al. // Macroheterocycles. 2017. V. 10. № 4–5. https://doi.org/10.6060/mhc171254z

# THE IMINOACYLATION REACTION OF IODOANILINE WITH $[2-B_{10}H_9NCCH_3]^-$ ANION IS A ROUTE TO THE PREPARATION OF NEW BORON-CONTAINING SYNTHONS

A. P. Zhdanov<sup>a</sup>, \*, A. V. Nelyubin<sup>a</sup>, N. A. Selivanov<sup>a</sup>, A. Yu. Bykov<sup>a</sup>, A. S. Kubasov<sup>a</sup>, I. N. Klyukin<sup>a</sup>, K. Yu. Zhizhin<sup>a</sup>, N. T. Kuznetsov<sup>a</sup>

<sup>a</sup>Kurnakov Institute of General and Inorganic Chemistry, Russian Academy of Sciences, Moscow, 119991 Russia \*e-mail: zhdanov@igic.ras.ru

This work is devoted to the study of the nucleophilic addition reaction of isomers of iodo-aniline to the nitrile derivative of closo-decaborate anion. The structure of the products was established by multinuclear NMR spectroscopy, ESI-mass spectrometry, and IR spectroscopy. The structure of compound (NBu<sub>4</sub>)  $[2-B_{10}H_0NHC(CH_1)HN(2-C_cH_1)]$  was established by single crystal X-ray analysis.

Keywords: closo-decaborate anion, nucleophilic addition, iodoaniline